

# Étude du mouvement du déchet

Nicolas GRY

15 février 2021

# Table des matières

<b>1</b>	<b>Phase de déplacement dans le champ magnétique</b>	<b>2</b>
1.1	Mise en situation . . . . .	2
1.1.1	Introduction des grandeurs et notations . . . . .	2
1.1.2	Schéma de la situation . . . . .	2
1.2	Étude littérale du mouvement . . . . .	3
1.2.1	Étude de l'alignement du déchet . . . . .	3

# 1 Phase de déplacement dans le champ magnétique

## 1.1 Mise en situation

### 1.1.1 Introduction des grandeurs et notations

On considère un solénoïde caractérisé par :

- Sa longueur  $L$
- Son rayon  $a$
- L'intensité du courant qui le traverse  $i$
- Son nombre de spires  $n$

Ce solénoïde engendre un champ magnétique :

$$\vec{B} = B_r \vec{e}_r + B_z \vec{e}_z$$

. On notera indifféremment  $||\vec{B}||$  et  $B$ .

On considère un déchet spatiale, de masse  $m$ , que l'on modélise par un moment magnétique solide  $\vec{p}$  de moment d'inertie  $J_\theta$ .

On notera indifféremment  $||\vec{p}||$  et  $p$ .

On travaillera dans le repère cylindrique  $(\vec{e}_r, \vec{e}_\theta, \vec{e}_z)$  et on notera  $(r, \theta, z)$  les coordonnées du déchet.

### 1.1.2 Schéma de la situation

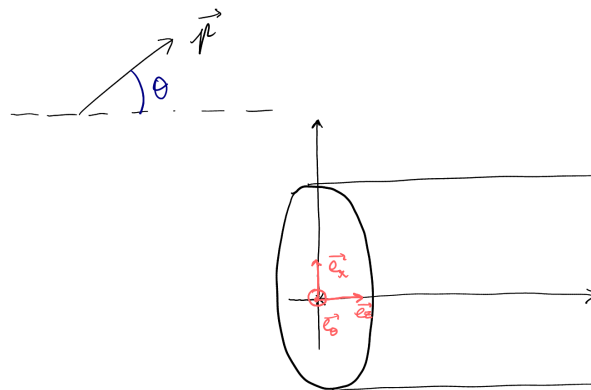


FIGURE 1.1 – Schéma simplifié de la situation

## 1.2 Étude littérale du mouvement

### 1.2.1 Étude de l'alignement du déchet

**Système** : débris assimilé à un moment magnétique solide  $\vec{p}$  de moment d'inertie  $J_\theta$

**Référentiel** : En lien avec le solénoïde, supposé galiléen (raisonnable au regard de la durée de l'expérience)

#### Conditions initiales

À  $t = 0$ , on suppose que le déchet est incliné d'un angle  $\theta_0$  par rapport à l'axe de révolution du solénoïde. On suppose également la vitesse angulaire du déchet nulle à  $t = 0$ , ce qui est raisonnable puisque le déchet est dénué de tout mouvement dû au champ  $B$  lorsqu'il n'y est pas soumis, ie à  $t = 0$ .

#### Bilan des forces

Force magnétique :

$$\vec{F}_B = \text{grad}(\vec{B} \cdot \vec{p})$$

#### Théorème du moment cinétique

Projeté selon  $\vec{e}_\theta$  :

$$\begin{aligned} J_\theta \frac{d^2\theta}{dt^2} &= \vec{M}(\vec{F}_B) \cdot \vec{e}_\theta \\ &= (\vec{p} \wedge \vec{B}) \cdot \vec{e}_\theta \\ &= pB_r \cos(\theta) - pB_z \sin(\theta) \end{aligned}$$

On obtient l'équation différentielle suivante :

**Équation différentielle du 2<sup>nd</sup> ordre non-linéaire à second membre non-constant :**

$$\frac{d^2\theta}{dt^2} + \frac{pB_z}{J_\theta} \sin(\theta) = \frac{pB_r}{J_\theta} \cos(\theta)$$

### Étude de la fin de l'alignement

On se place en premier dans la situation où  $\theta$  est considéré petit. On a alors :

$$\frac{d^2\theta}{dt^2} + \frac{pB_z}{J_\theta} \theta = \frac{pB_r}{J_\theta}$$

On pose

$$\omega_0 = \sqrt{\frac{pB_z}{J_\theta}}$$

#### Solution générale de l'équation homogène associée

$$\theta_h(t) = A \cos(\omega_0 t + \varphi)$$

avec  $A$  et  $\varphi$  des constantes d'intégrations.

Solution particulière de l'équation

$$\theta_p(t) = \frac{B_r}{B_z}$$

Solution générale de l'équation

$$\theta(t) = A \cos(\omega_0 t + \varphi) + \frac{B_r}{B_z}$$

Détermination des constantes d'intégration avec les conditions initiales

Avec :

$$\theta(0) = \theta_0$$

$$\frac{d\theta}{dt}(0) = 0$$

On en déduit :

$$A = \theta_0 - \frac{B_r}{B_z}$$

$$\varphi \equiv 0 [\pi]$$

Et donc finalement :

Équation de l'angle formé entre  $\vec{p}$  et  $\vec{e}_z$ 

$$\theta(t) = \left( \theta_0 - \frac{B_r}{B_z} \right) \cos(\omega_0 t) + \frac{B_r}{B_z}$$